

О СТОЙКОСТИ К АТАКЕ УСЕЧЕННЫХ ДИФФЕРЕНЦИАЛОВ RIJNDAEL-ПОДОБНЫХ ШИФРОВ С БОЛЬШИМИ РАЗМЕРАМИ БЛОКОВ

В. И. Руженцев, канд. техн. наук, доц.

Харьковский национальный университет радиоэлектроники, г. Харьков

Аннотация. Проанализирована стойкость Rijndael-подобных блочных шифров к атаке усеченных дифференциалов. Доказано отсутствие усеченных байтовых дифференциалов, которые могут быть положены в основу атаки.

Ключевые слова: блочный симметричный шифр, атака усеченных дифференциалов, байтовая дифференциальная характеристика, байтовый дифференциал.

Анотація. Проаналізовано стійкість Rijndael-подібних блокових шифрів до атаки усічених диференціалів. Доведено відсутність усічених байтових диференціалів, які можуть бути покладені в основу атаки.

Ключові слова: блоковий симетричний шифр, атака усічених диференціалів, байтова диференціальна характеристика, байтовий диференціал.

Abstract. The attack strength of truncated differentials of Rijndael-like block ciphers has been considered. The absence of truncated byte differentials which may be the basis for the attack has been proved.

Keywords: block symmetric cipher, truncated differentials attack, byte differential characteristic, byte differential.

ПОСТАНОВКА ПРОБЛЕМЫ

История симметричной криптографии в эру компьютерных технологий связана с увеличением размеров блока и ключа для блочных шифров. Объясняется это тем, что эти параметры определяют стойкость шифра к атакам «грубой силы», а постоянно возрастающие возможности вычислительной техники расширяют возможности потенциальных злоумышленников для реализации этих атак. На сегодняшний день нередко встречается использование блочных шифров с размером 1024 бита, например в составе хеш-функций. При этом многие новые шифры и хеш-функции используют элементы наиболее распространенного сегодня блочного симметричного шифра (БСШ) Rijndael [8]. Анализ криптографической стойкости Rijndael-подобных шифров со значительно увеличенным блоком является актуальной задачей.

АНАЛИЗ ПОСЛЕДНИХ ИССЛЕДОВАНИЙ И ПУБЛИКАЦИЙ

В работах [4, 6] предложено доказательство отсутствия эффективных байтовых дифференциалов для Rijndael-подобных шифров. В отличие от известных до этого подходов из работ [11, 12], процесс доказательства не связан с какими-либо вычислительными процессами, сложность которых резко возрастает с увеличением размера блока и количества циклов. Однако в [4, 6] продемонстрировано применение этого подхода лишь для шифра Rijndael со 128-битным блоком.

ЦЕЛЬЮ РАБОТЫ является, с одной стороны, демонстрация возможности применения подхода из [4, 6] к шифрам с большим размером блока (в на-

стоящей работе рассматриваются шифры с размером блока до 1024 битов), с другой стороны изучение криптостойкости таких шифров.

ИЗЛОЖЕНИЕ ОСНОВНОГО МАТЕРИАЛА

Атака усеченных дифференциалов. Методика реализации атаки усеченных дифференциалов была предложена Л. Кнудсенем [9]. Отличие от обычной дифференциальной атаки заключается в том, что через циклы проводится не полная разность, а некоторая ее часть. В работе [9] показано, что такая методика эффективна в случаях, когда в шифре используется недостаточно хорошее рассеивание и прохождение разности через несколько циклов может рассматриваться независимо от значения разности в некоторой части блока.

Один из вариантов атаки – атака байтовых дифференциалов – была предложена в работах [7, 10]. В ходе атаки через преобразования шифра пытаются провести векторы активизации. Каждый бит вектора активизации отражает активность одного байта в обычной разности. Таким образом, вектор активизации содержит столько битов, сколько байтов в блоке, а значение бита определяется активностью байта: «1» – байт активный, «0» – байт пассивный.

Совокупность значений входного и выходного векторов активизации для одного цикла преобразования называется *одноцикловой байтовой дифференциальной характеристикой* (БДХ). По аналогии с обычным дифференциальным криптоанализом «сшивку» нескольких одноцикловых БДХ (условие «сшивки»: входной вектор активизации каждой последующей одноцикловой БДХ равен выходному вектору активизации предыдущей) будем называть *многочисловой БДХ*. Вероятность такой характеристики вычисляется

как произведение вероятностей всех входящих в нее одноцикловых характеристик. При этом БДХ, покрывающие одинаковое число циклов и имеющие одинаковые значения входных векторов активизации и одинаковые значения выходных векторов активизации, принадлежат одному и тому же *байтовому дифференциалу* (БД). Вероятность БД – сумма вероятностей всех входящих в него БДХ.

Напомним также, что БДХ или БД считаются *эффективными*, когда их вероятность $p_{\text{БДХ}}$ или $P_{\text{БД}}$ значительно больше вероятности получения на выходе того же вектора активизации при произвольном (случайном) векторе активизации на входе (случайный входной вектор активизации предполагает равновероятность всех значений выходной разности):

$$P_{\text{БД}} \gg p_{\text{сл}}; p_{\text{БДХ}} \gg p_{\text{сл}}, \quad (1)$$

где $p_{\text{сл}} \approx (2^{-8})^u$, u – число неактивных байтов в выходной разности или число нулевых битов в выходном векторе активизации. Следует заметить, что для эффективных БД или БДХ непременно будет выполняться и традиционное для обычных дифференциалов ограничение: $P_{\text{БД}} > 2^{-n}$ или $p_{\text{БДХ}} > 2^{-n}$, где n – длина блока в битах.

Если удастся найти эффективный r -цикловый дифференциал, то может быть организована атака на $(r + 1)$ -цикловый шифр. Для последнего цикла будут известны выходное значение разности (на основе известных значений криптограмм) и входной вектор активизации (в соответствии с используемым байтовым дифференциалом). Эти данные позволяют получить информацию о подключе последнего цикла. Таким образом, для выполнения атаки необходимо, чтобы БД или БДХ покрывали почти все циклы шифра.

Рассматриваемые Rijndael-подобные шифры с большими размерами блоков. В настоящей работе рассмотрена стойкость Rijndael-подобных шифров, то есть алгоритмов шифрования, которые построены по принципу Substitution-Permutation Network (SPN) и содержат в каждом цикле (даже в последнем) четыре вида преобразований – аналоги преобразований шифра Rijndael: ByteSub (BS), ShiftRow (SR), MixColumns (MC) и AddKey. В зависимости от размера блока может изменяться количество и размер колонок.

Когда количество колонок n больше количества строк m , то операция ShiftRow выполняет циклический сдвиг каждой строки на различное количество байтов. В результате операции каждая колонка будет содержать не более одного байта из каждой колонки до преобразования. Для всех вариантов шифра Rijndael [8] выполняется условие $n \geq m$.

Когда $m \geq n$, то количество байтов, которые из одной исходной колонки будут поступать в одну колонку на выходе преобразования ShiftRow, будем обозначать p (рис. 1).

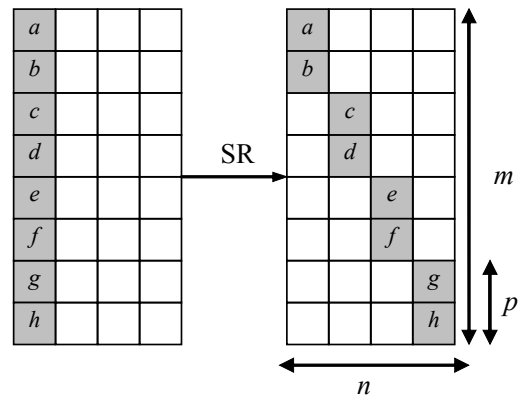


Рис. 1

В этих случаях всегда будет выполняться условие

$$m = np. \quad (2)$$

Такая схема преобразования используется в шифре «Калина» [3].

Прежде чем перейти к рассмотрению стойкости Rijndael к атаке, выделим особенности преобразования MC, так как именно это преобразование вносит неопределенность в прохождении векторов активизации через циклы шифра. В работе [5] проведен анализ этого преобразования и определены вероятности переходов векторов активизации через MC. В табл. 1 и 2 для преобразования MC, которое покрывает 4 и 8 байтов соответственно, представлены двоичные логарифмы от вероятностей перехода векторов активизации через MC для различного числа активных битов на входе (меняется по столбцам) и выходе (по строкам).

Таблица 1. Log_2 вероятности перехода вектора активизации через 4-байтный MC

Вход	Выход				
	0	1	2	3	4
0	0	–	–	–	–
1	–	–	–	–	0
2	–	–	–	–7,99	–0,023
3	–	–	–15,99	–8,017	–0,0226
4	–	–23,983	–16,0115	–8,0171	–0,0226

Таблица 2. Log_2 вероятности перехода вектора активизации через 8-байтный MC

Вход	Выход								
	0	1	2	3	4	5	6	7	8
0	0	–	–	–	–	–	–	–	–
1	–	–	–	–	–	–	–	–	0
2	–	–	–	–	–	–	–	–7,99	–0,046
3	–	–	–	–	–	–	–15,9	–8,04	–0,045
4	–	–	–	–	–	–23,9	–16,0	–8,04	–0,045
5	–	–	–	–	–31,9	–24,0	–16,0	–8,04	–0,045
6	–	–	–	–39,9	–32,0	–24,0	–16,0	–8,04	–0,045
7	–	–	–47,9	–40,0	–32,0	–24,0	–16,0	–8,04	–0,045
8	–	–55,9	–48,0	–40,0	–32,0	–24,0	–16,0	–8,04	–0,045

Используемый подход к доказательству отсутствия эффективных байтовых дифференциалов. В этой части работы напомним основные этапы предложенного в [4] подхода к доказательству отсутствия эффективных байтовых дифференциалов.

В начале для Rijndael-подобных шифров была доказана лемма об активных колонках в эффективных байтовых дифференциальных характеристиках.

Лемма 1. Эффективная байтовая дифференциальная характеристика для Rijndael-подобного шифра не может содержать ни одного цикла со всеми активными колонками на входе преобразования МС [4].

Сделан вывод о возможности использования этой леммы в целях доказательства отсутствия эффективных БДХ для шифров с одной или двумя колонками в блоке.

Далее была доказана теорема об отсутствии эффективных БДХ для 128-битного Rijndael (с четырьмя колонками в блоке).

Теорема 1. Для шифра Rijndael с размером блока 128 битов нет эффективных БДХ для трех или более циклов с полным набором преобразований [5].

В этой работе удалось доказать подобную теорему, но не для отдельного шифра, а для отдельного класса шифров.

Следующим этапом в [4] стало рассмотрение БДХ, которые входят в состав БД. Начиная с этого этапа, анализ выполнялся для 128-битного варианта шифра Rijndael. Первое свойство БД сформулировано в виде утверждения 1.

Утверждение 1. Для каждого не невыполнимого r -циклового ($r \geq 3$) БД всегда есть одна и только одна БДХ с вероятностью примерно $p_{\text{сл}} \cdot 2^{-0,0904r}$.

Такие БДХ в [4] были названы основными БДХ. Остальные БДХ были названы дополнительными. Второе свойство относится к дополнительным БДХ.

Утверждение 2. Для каждого БД с тремя или более циклами любая дополнительная БДХ с k дополнительными пассивными байтами имеет вероятность примерно в 2^{8k} раза ниже, чем основная БДХ этого БД [4].

Теорема 2. Для вариантов шифра Rijndael с размером блока 128 битов нет эффективных БД для трех и более циклов.

Таким образом, можно выделить следующие основные этапы предложенного в [4] подхода к доказательству отсутствия эффективных БД:

1. Определение количества циклов, когда для шифра отсутствуют эффективные БДХ.
2. Определение вероятностей основной и дополнительных БДХ.
3. Оценка количества дополнительных БДХ.
4. Оценка вероятностей БД.

В настоящей работе предпринята попытка распространить этот подход на Rijndael-подобные шифры с большим размером блока.

Исследование шифров с большими блоками. На первом этапе предложенной в [4] методики необходимо определить минимальное число циклов, при котором для шифров отсутствуют эффективные БДХ.

Докажем теорему, которая является аналогом теоремы 1 из [6], но для более широкого класса шифров.

Теорема 3. Для Rijndael-подобного шифра с равномерным распределением байтов каждой колонки по всем колонкам в ходе процедуры SR не существует эффективных байтовых дифференциальных характеристик для трех и более циклов.

Доказательство. Рассмотрим 3-цикловую БДХ для такого шифра. Пусть на входе МС-преобразования 1-го, 2-го и 3-го циклов будет соответственно a , b и c активных колонок ($a > 0$, $b > 0$ и $c > 0$). В первом цикле после операции МС в каждой активной колонке должно быть не более bp активных байтов (в противном случае во втором цикле будет больше, чем b , активных колонок на входе МС). Тогда, учитывая, что каждый пассивный байт на выходе преобразования МС уменьшает вероятность БДХ примерно в 2^8 раза, верхняя граница вероятности БДХ после первого цикла составит $2^{-(m-bp)8a}$.

Исходя из аналогичных соображений после двух циклов вероятность БДХ составит не более чем $2^{-(m-bp)8a} \cdot 2^{-(m-cp)8b}$.

При этом, если считать, что в третьем цикле после преобразования МС в каждой из c активных колонок будут активны все байты, то, используя выражение (1) для вычисления нижней границы вероятности эффективной БДХ, будет получено

$$p_{\text{сл}} = 2^{-(n-c)8m}.$$

Для того чтобы теорема была справедлива, должно выполняться неравенство

$$-(m-bp) \cdot 8a - (m-cp) \cdot 8b \leq -(n-c) \cdot 8m. \quad (3)$$

Следует отметить, что каждый дополнительный пассивный байт на выходе операции МС третьего цикла будет добавлять множитель 2^{-8} в обе части этого неравенства.

Неравенство (3) равносильно неравенству

$$-(m-bp) \cdot 8a - (m-cp) \cdot 8b \leq -(n-c) \cdot 8m. \quad (4)$$

В соответствии с леммой о числе активных колонок [4] можно записать $a + c \geq n + 1$. Поскольку $n \geq b$, то $(m-bp) \geq 0$, а следовательно, $-(m-bp) \cdot 8a \leq 0$. Поэтому в выражение (4) можно подставить вместо a минимальное значение, т. е. сделать замену $a = n + 1 - c$. Раскрыв после этого в (4) скобки, выполнив элементарные преобразования и учитывая уравнение (2), неравенство (4) сводится к неравенству

$$b \leq n,$$

которое всегда является справедливым. Теорема доказана.

Для проверки подлинности теоретических выводов были проведены вычислительные эксперименты по поиску эффективных БДХ с использованием метода Мораи [11] для шифров с размером блока до 128 битов и модифицированного метода из [5] для больших размеров блока. Результаты представлены в табл. 3, цветом выделены варианты шифров, попадающие под условие приведенной теоремы.

Таблица 3. Минимальное количество циклов, при котором не существует эффективных БДХ

Размер колонки	Количество колонок в блоке	Число циклов
4 байта	4	3
	6	4
	8	6
8 байтов	2	3
	4	3
	8	3
	16	7

Представленные результаты подтверждают справедливость доказанной теоремы, а также демонстрируют недостаток вариантов шифров, для которых число колонок больше числа строк ($n > m$). Эффективные БДХ в этих случаях могут покрывать значительно большее количество циклов.

Еще одно наблюдение, связанное с анализом результатов вычислительных экспериментов, заключается в том, что все рассмотренные варианты шифров БДХ, которые обладают максимальной вероятностью, обычно содержат минимальное количество активных колонок. При этом в соответствии с леммой 1 нет ни одного цикла, где одновременно все колонки активны на входе преобразования МС. Так, для случаев, когда в рамках операции SR выполняется циклический сдвиг каждой из строк на различное

количество байтов, эффективные БДХ, покрывающие максимальное количество циклов, в основном состоят из циклов с количеством активных колонок $\frac{m}{2} + 1$. Например, для всех вариантов Rijndael это значение равняется 3, то есть эффективные БДХ, представленные в табл. 3 для 4-байтных колонок, будут содержать по три активных колонки в каждом из циклов. При этом каждая активная колонка обычно содержит $\frac{m}{2} + 1$ активных байтов на входе и выходе. Пример одного такого цикла для шифра со 128-битным блоком представлен на рис. 2.

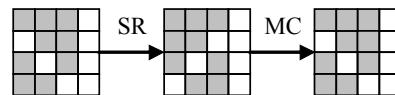


Рис. 2

На втором этапе подхода из [4] следует оценить вероятности основной и дополнительных БДХ. В работе [4] для выполнения этих оценок доказаны утверждения 1 и 2. Утверждение 2 с определенными коррективами справедливо для всех Rijndael-подобных SPN-шифров. В утверждении 1 численный множитель в показателе степени граничного значения зависит от размера колонки и соответствующих вероятностей переходов из табл. 1 или 2 и от количества колонок в блоке. Таким образом, вероятность основной БДХ

$$P_{\text{осн}} = p_{\text{сл}} \cdot (p_{\text{МС}})^n,$$

где r – число циклов; n – число колонок в блоке; $p_{\text{МС}}$ – вероятность перехода вектора активизации для одной колонки со всеми активными байтами на входе и выходе (значение вероятности в нижнем правом углу табл. 1 или 2).

Соответствующие граничные значения вероятностей основной и дополнительных БДХ представлены в табл. 4.

Таблица 4. Вероятности основной и дополнительных БДХ

Размер колонки	Количество колонок в блоке	Вероятность основной БДХ	Вероятность дополнительной БДХ с k дополнительными пассивными байтами
4 байта	4	$p_{\text{сл}} \cdot 2^{-0,0904r}$	$p_{\text{сл}} \cdot 2^{-0,0904r} \cdot 2^{-8k}$
	6	$p_{\text{сл}} \cdot 2^{-0,1356r}$	$p_{\text{сл}} \cdot 2^{-0,1356r} \cdot 2^{-8k}$
	8	$p_{\text{сл}} \cdot 2^{-0,1808r}$	$p_{\text{сл}} \cdot 2^{-0,1808r} \cdot 2^{-8k}$
8 байтов	2	$p_{\text{сл}} \cdot 2^{-0,08r}$	$p_{\text{сл}} \cdot 2^{-0,08r} \cdot 2^{-8k}$
	4	$p_{\text{сл}} \cdot 2^{-0,16r}$	$p_{\text{сл}} \cdot 2^{-0,16r} \cdot 2^{-8k}$
	8	$p_{\text{сл}} \cdot 2^{-0,32r}$	$p_{\text{сл}} \cdot 2^{-0,32r} \cdot 2^{-8k}$
	16	$p_{\text{сл}} \cdot 2^{-0,64r}$	$p_{\text{сл}} \cdot 2^{-0,64r} \cdot 2^{-8k}$

Третий этап связан с оценкой количества возможных дополнительных БДХ. В [4] показано, что наибольшее количество дополнительных БДХ набирается в случаях, когда дополнительные пассивные байты будут располагаться в отдельных циклах. Остальными вариантами расположения дополнительных пассивных байтов можно пренебречь, так как их коли-

чество будет значительно меньше. Обозначив количество байтов в блоке b , количество дополнительных БДХ с распределением дополнительных k пассивных байтов по одному в цикле может быть оценено как

$$C_r^k \cdot b^k = \frac{r!}{k! \cdot (r-k)!} \cdot b^k \approx \frac{(r^k \cdot b^k)}{k!}. \quad (5)$$

В табл. 5 представлено количество различных r -цикловых БДХ с k дополнительными пассивными байтами, которые принадлежат одному и тому же БД, то есть имеют фиксированные входную и выходную активизации байтов.

На четвертом этапе следует оценить суммарную вероятность от всех БДХ, входящих в состав одного БД. Для этого нужно просуммировать произведения количества БДХ из табл. 5 на их вероятность из табл. 4. Результаты представлены в табл. 6.

Таблица 5. Количество различных r -цикловых БДХ с k дополнительными пассивными байтами

Размер колонки	Количество колонок в блоке	Количество БДХ
4 байта	4	$(r^k \cdot 16^k)/k!$
	6	$(r^k \cdot 24^k)/k!$
	8	$(r^k \cdot 32^k)/k!$
8 байтов	2	$(r^k \cdot 16^k)/k!$
	4	$(r^k \cdot 32^k)/k!$
	8	$(r^k \cdot 64^k)/k!$
	16	$(r^k \cdot 128^k)/k!$

Таблица 6. Вероятность БД с числом циклов R , при котором отсутствуют эффективные БДХ

Размер колонки	Количество колонок в блоке	Вероятность БД
4 байта	4	$\left(e^{\frac{1}{16}} \cdot 2^{-0,0904} \right)^R \cdot p_{сл} \approx 1^R \cdot p_{сл}$
	6	$\left(e^{\frac{3}{32}} \cdot 2^{-0,1356} \right)^R \cdot p_{сл} \approx 1^R \cdot p_{сл}$
	8	$\left(e^{\frac{1}{8}} \cdot 2^{-0,1808} \right)^R \cdot p_{сл} \approx 1^R \cdot p_{сл}$
8 байтов	2	$\left(e^{\frac{1}{16}} \cdot 2^{-0,09} \right)^R \cdot p_{сл} \approx 1^R \cdot p_{сл}$
	4	$\left(e^{\frac{1}{8}} \cdot 2^{-0,18} \right)^R \cdot p_{сл} \approx 1^R \cdot p_{сл}$
	8	$\left(e^{\frac{1}{4}} \cdot 2^{-0,36} \right)^R \cdot p_{сл} \approx 1^R \cdot p_{сл}$
	16	$\left(e^{\frac{1}{2}} \cdot 2^{-0,72} \right)^R \cdot p_{сл} \approx 1^R \cdot p_{сл}$

Из представленных в табл. 6 результатов видно, что во всех случаях получено значение вероятности БД, равное $p_{сл}$, а значит БД с большим числом циклов,

чем может покрыть эффективная БДХ, не являются эффективными (не удовлетворяют условию (1)).

Исследование шифров, использующих цепь Фейстеля и Rijndael-подобные преобразования.

В этом подразделе сделана попытка применить предложенный в [4, 6] подход к шифрам, в основе которых лежит цепь Фейстеля, а цикловое преобразование использует Rijndael-подобные преобразования. К известным шифрам этого вида можно отнести «Торнадо» [2] и «Лабиринт» [1].

Выполняя вычислительные эксперименты по поиску эффективных БДХ с помощью методов из [5, 11], был сделан вывод, что при использовании цепи Фейстеля и Rijndael-подобных преобразований важным становится порядок выполнения линейных преобразований в цикле. Порядок преобразований BS, SR, MC, AddKey, используемый в Rijndael, не является оптимальным. На рис. 3 представлена 4-цикловая итеративная БДХ, которая может быть многократно повторена и обладает вероятностью $\approx 2^{-56}$. Для сравнения: при порядке преобразований BS, MC, SR, AddKey лучшая 4-цикловая итеративная БДХ будет иметь вероятность $\approx 2^{-96}$ (рис. 4). В обоих случаях возможна 3-цикловая итеративная БДХ (рис. 5), в которой каждый третий цикл использует переход нулевой разности с вероятностью 1. Но вероятность такой БДХ $\approx 2^{-128}$, что значительно ниже, чем у упомянутых ранее.

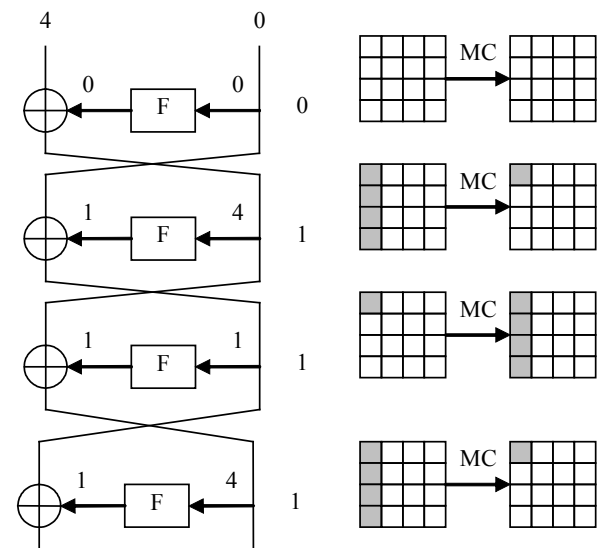


Рис. 3

На рис. 3–5 справа представлены переходы векторов активизации, которые происходят при выполнении операции MC в соответствующих циклах. Цифрами обозначено количество активных колонок на входе и выходе циклового преобразования, а справа – количество активных колонок на входе преобразования MC.

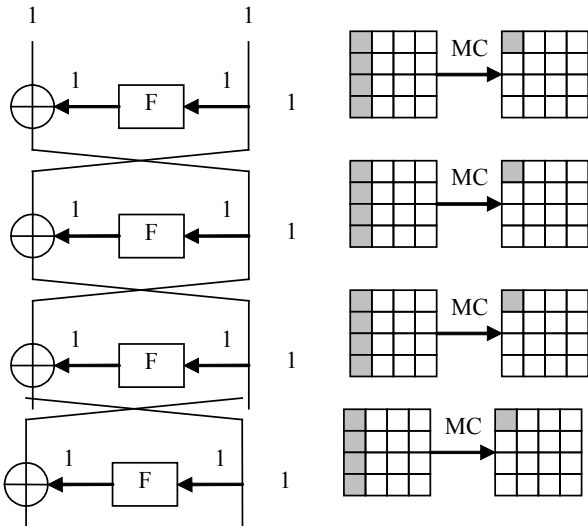


Рис. 4

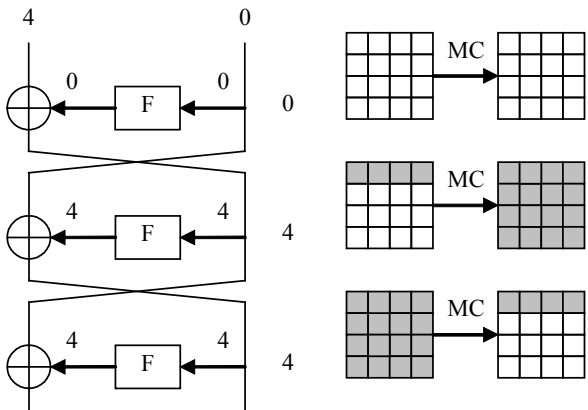


Рис. 5

Далее рассмотрим варианты Фейстель-подобных шифров с порядком преобразований в цикле BS, MC, SR, AddKey, как обладающие более высоким уровнем защищенности от рассматриваемого вида атак.

В табл. 7 представлены результаты выполнения первого этапа исследования таких шифров.

Таблица 7. Минимальное количество циклов, при котором не существует эффективных БДХ

Размер колонки	Количество колонок в полублоке	Число циклов
4 байта	2	5
	4	8
8 байтов	1	3
	2	6
	4	9
	8	16

Анализ результатов позволяет сделать вывод о значительно меньшей защищенности Rijndael-подобных шифров с применением цепи Фейстеля по сравнению с использованием схемы SPN (см. табл. 3).

Исключением является вариант цепи Фейстеля с единственной колонкой в блоке.

На втором этапе следует оценить вероятности основной и дополнительных БДХ.

Как и в случае с SPN-схемой, основная БДХ будет содержать переходы, обладающие максимальной вероятностью и максимальным количеством активных байтов на выходе всех операций MC и всех XOR-сложений полублоков во всех циклах, кроме нескольких последних. В нескольких последних циклах количество и позиции активных байтов на выходе преобразований будут диктоваться значением выходного вектора активизации.

Вероятность такой r -циклового БДХ может быть оценена следующим образом:

$$P_{\text{осн}} = \left((p_{\text{MC}})^n \cdot \left(\frac{254}{255} \right)^{mn} \right)^r \cdot p_{\text{сл}},$$

где m, n – соответственно число строк и колонок в полублоке; p_{MC} – вероятность перехода вектора активизации для одной колонки со всеми активными байтами на входе и выходе (значение вероятности в нижнем правом углу табл. 1 или 2). В последнем выражении первый множитель в скобках учитывает снижение вероятности БДХ при прохождении преобразований MC, а второй – при прохождении XOR-суммы полублоков.

Тогда вероятность каждой дополнительной БДХ с k дополнительными пассивными байтами будет

$$P_{\text{доп}} = P_{\text{осн}} \cdot 2^{-8k}.$$

В табл. 8 представлены вероятности основной и дополнительных БДХ для шифров с использованием цепи Фейстеля и количеством циклов, при котором отсутствуют эффективные БДХ (аналог табл. 4 для SPN-шифров).

Таблица 8. Вероятности БДХ для шифров с использованием цепи Фейстеля

Размер колонки	Количество колонок в полублоке	Вероятность основной БДХ
4 байта	2	$p_{\text{сл}} \cdot 2^{-0,0902r}$
	4	$p_{\text{сл}} \cdot 2^{-0,1811r}$
8 байтов	1	$p_{\text{сл}} \cdot 2^{-0,09r}$
	2	$p_{\text{сл}} \cdot 2^{-0,1807r}$
	4	$p_{\text{сл}} \cdot 2^{-0,3614r}$
	8	$p_{\text{сл}} \cdot 2^{-0,7228r}$

На третьем этапе необходимо оценить количество возможных дополнительных БДХ. Как и для SPN-шифров, наибольшее количество дополнительных БДХ набирается в случаях, когда дополнительные пассивные байты будут располагаться в отдельных циклах. Остальными вариантами расположения дополнительных пассивных байтов можно пренебречь, так как их количество будет значительно меньше.

Обозначив количество байтов в блоке b , количество дополнительных БДХ с распределением дополнительных k пассивных байтов по одному в цикле может быть оценено как

$$C_r^k \cdot \left(\frac{b}{2} + \frac{b}{2}\right)^k = C_r^k \cdot b^k \approx \frac{(r^k \cdot b^k)}{k!}.$$

Полученное значение идентично тому, что было найдено в выражении (5) для SPN-шифров, а данные из табл. 5 практически повторяют данные из табл. 4 для одинаковых размеров блока. Таким образом, как и для схемы SPN (см. табл. 6), во всех случаях шифров, построенных с использованием цепи Фейстеля, граничная вероятность БД будет составлять $\approx p_{\text{ср}}$, то есть БД не будут эффективными.

ВЫВОДЫ

Главным результатом работы стал вывод об отсутствии эффективных байтовых дифференциалов для всех рассмотренных шифров, использующих схему SPN или Фейстеля и Rijndael-подобную структуру цикловых преобразований, когда число циклов больше граничного значения, при котором уже не существуют эффективные байтовые дифференциальные характеристики.

Вторым важным результатом является вывод о возможности применения подхода из [4, 6] для достаточно широкого класса шифров с Rijndael-подобной структурой цикловых преобразований.

В работе также отмечены преимущества с точки зрения криптостойкости SPN-шифров, в блоке которых количество колонок не превышает количества строк. Доказана теорема о том, что такие шифры с тремя и более циклами не содержат эффективных байтовых дифференциальных характеристик.

Показано, что криптостойкость SPN-шифров выше, чем у Фейстель-подобных шифров при равном размере блока и количестве циклов. Исключением является ситуация, когда полублок Фейстель-подобного шифра содержит всего одну колонку.

Выявлена зависимость криптостойкости от очередности преобразований в цикловой функции для шифров, использующих схему Фейстеля.

Перспективным направлением исследований представляется анализ возможности использования усеченных байтовых характеристик и усеченных байтовых дифференциалов в атаках на алгоритмы хеширования, где обычно и применяются шифры с большими размерами блоков.

СПИСОК ИСПОЛЬЗОВАННОЙ ЛИТЕРАТУРЫ

- [1] Головашич, С. А. Спецификация алгоритма блочного симметричного шифрования «Лабиринт» [Текст] / С. А. Головашич // Прикладная радиоэлектроника. Тематический выпуск, посвященный проблемам обеспечения безопасности информации. – 2007. – № 2, т. 6. – С. 230–240.
- [2] Долгов, В. И. Криптостойкость шифра «Торнадо» [Текст] / В. И. Долгов, С. А. Головашич, В. И. Руженцев // Радиотехника. – 2003. – № 134. – С. 81–88.
- [3] Перспективный блочный симметричный шифр «Калина» – основні положення та специфікація [Текст] / І. Д. Горбенко, В. І. Долгов, Р. В. Олійников, В. І. Руженцев [та ін.] // Прикладная радиоэлектроника. Тематический выпуск, посвященный проблемам обеспечения безопасности информации. – 2007. – № 2, т. 6. – С. 195–208.
- [4] Руженцев, В. И. Доказуемая стойкость Rijndael-подобных шифров к атаке усеченных дифференциалов [Текст] / В. И. Руженцев // Радиоелектронні і комп'ютерні системи : науково-технічний журнал. – 2012. – № 5. – С. 51–55.
- [5] Руженцев, В. И. О методах оценки стойкости к атаке усеченных дифференциалов [Текст] / В. И. Руженцев // Радиоэлектроника и информатика. – 2003. – № 4. – С. 130–133.
- [6] Руженцев, В. И. Про доказательство отсутствия эффективных байтовых дифференциальных характеристик для Rijndael-подобных шифров [Текст] / В. И. Руженцев // Радиотехника. – 2012. – № 170. – С. 130–133.
- [7] Camellia: A 128-Bit Block Cipher Suitable for Multiple Platforms [Text] / K. Aoki, T. Ichikawa, M. Kanda [et al.] // Selected Areas in Cryptography – 7th Annu. Intern. Workshop, SAC2000, Lecture Notes in Computer Science. – Berlin : Springer-Verlag, 2001. – P. 39–56.
- [8] Daemen, J. AES Proposal Rijndael [Электронный ресурс] / J. Daemen, V. Rijmen // AES Round 1 Technical Evaluation CD1: Documentation, Nat. Inst. of Standards and Technology, Aug. 1998. – Режим доступа: <http://www.nist.gov/aes>.
- [9] Knudsen, L. R. Truncated and Higher Order Differentials [Text] / L. R. Knudsen // Fast Software Encryption – Second Intern. Workshop, Vol. 1008 of Lecture Notes in Computer Science. – Berlin ; Heidelberg ; New York : Springer-Verlag, 1995. – P. 196–211.

- [10] **Knudsen, L. R.** Truncated differentials of SAFER [Text] / L. R. Knudsen, T. A. Berson // In Fast Software Encryption – Third Intern. Workshop, FSE'96, Vol. 1039 of Lecture Notes in Computer Science. – Berlin ; Heidelberg ; New York : Springer-Verlag, 1996.
- [11] **Moriai, S.** Security of E2 against Truncated Differential Cryptanalysis [Text] / S. Moriai, M. Sugita, K. Aoki // Selected Areas in Cryptography — 6th Annu. Intern. Workshop, SAC'99, Vol. 1758 of Lecture Notes in Computer Science. – Berlin ; Heidelberg ; New York : Springer-Verlag, 2000. – P. 106–117.
- [12] **Sugita, M.** Relationships among differential, truncated differential, impossible differential cryptanalyses against word-oriented block cipher like Rijndael, E2 [Электронный ресурс] / M. Sugita, K. Kobara // Nat. Inst. of Standards and Technology. – Режим доступа: <http://www.nist.gov/aes>.

© В. І. Руженцев

Надійшла до редколегії 12.02.13

Статтю рекомендує до друку

канд. фіз.-мат. наук, доц. *Д. М. Самойленко*

Статтю розміщено у Віснику НУК № 1, 2013